

## 5. Respostas Temporais

### 5.1 Introdução

Uma das **vantagens** da **realimentação** é permitir ajustar os desempenhos **transitório** e **estacionário** de sistemas de controle.

Para **projetar** e **analisar** sistemas de controle, é necessário **definir** e **medir** o **desempenho** dos sistemas. Então, com base no desempenho desejado, os parâmetros do controlador podem ser ajustados para se atingir esse objetivo.

É necessário estabelecer uma **base** que permita ao analista/projetista **comparar** os desempenhos de diferentes opções de sistemas de controle. Isto pode ser feito escolhendo-se sinais de **entrada particulares** e **comparando-se os desempenhos** obtidos em cada caso.

Um bom número de **critérios de projeto** baseia-se nesses **sinais particulares** ou na resposta do sistema a **condições iniciais**.

As **especificações** de projeto de sistemas de controle normalmente incluem vários **índices de resposta temporal** para um sinal de **entrada determinado**, além de uma **precisão** especificada para a resposta **estacionária**.

Muitas vezes, na prática, o sinal de **referência** de um sistema de controle **não é conhecido a priori** (por exemplo, o controle de trajetória de robôs móveis). Pode ocorrer, inclusive, que o sinal de referência seja de natureza aleatória. Há, naturalmente, exceções, como o caso de máquinas de corte, foguetes lançadores de satélites, etc.

Os sinais de referência mais utilizados são o degrau, a rampa, a parábola (menos comum), o impulso e a senóide.

O tipo de sinal mais apropriado para uma dada aplicação depende das características desta. Assim, por exemplo, quando se altera o valor desejado para a **temperatura** ambiente controlada através de um sistema do tipo ar condicionado + calefação, o degrau é um sinal apropriado. O mesmo ocorre, por exemplo, no caso de um **piloto automático** de navio quando se **altera bruscamente** o **rumo** desejado.

Por outro lado, imagine-se um sistema de posicionamento para uma **antena rastreadora** de satélites. Neste caso, uma boa escolha para o sinal de referência é a **rampa**.

Por fim, considere-se um sistema de controle de uma **suspensão ativa** de automóvel. Se o objetivo for estudar o comportamento do sistema quando o carro passar, em alta velocidade, por um buraco, o **impulso** será uma escolha adequada para o sinal de **distúrbio**.

### 5.2 Resposta a Impulso

Para um sistema linear invariante no tempo (S.L.I.T.) com **condições iniciais nulas**:

$$Y(s) = G(s) \cdot X(s)$$

Supondo que a entrada seja um impulso unitário:

$$x(t) = \delta(t) \quad \Rightarrow \quad X(s) = 1$$

Portanto:

$$Y(s) = G(s)$$

Assim, a resposta impulsiva  $y(t)$  do sistema é dada por:

$$y(t) = g(t) = \mathcal{L}^{-1}[G(s)]$$

Em vista disso, a resposta impulsiva e a Função de Transferência são formas **equivalentes** de representar o comportamento dinâmico em termos de entrada/saída.

Note que a relação:

$$Y(s) = G(s) \cdot X(s)$$

permite obter a resposta do sistema a uma entrada qualquer através do seguinte caminho:

$$x(t) \xrightarrow{L} X(s) \xrightarrow{G(s)} Y(s) \xrightarrow{L^{-1}} y(t)$$

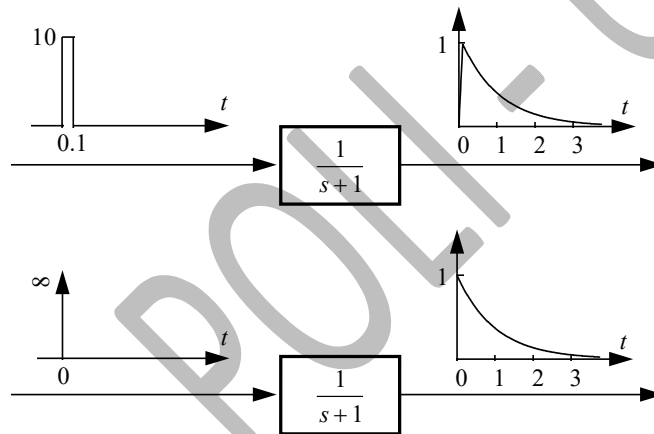
Por outro lado, uma das propriedades vistas de Transformada de Laplace (referente à convolução de funções) permite escrever:

$$y(t) = \int_0^t g(t-\tau) \cdot x(\tau) \cdot d\tau = \int_0^t g(\tau) \cdot x(t-\tau) \cdot d\tau \quad (\text{integral de convolução})$$

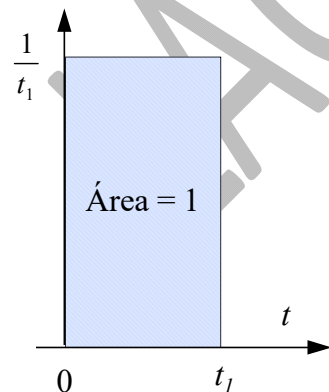
e, portanto, o conhecimento da resposta impulsiva permite obter a saída  $y(t)$  correspondente à função de entrada  $x(t)$ .

Na prática, uma entrada em forma de pulso, cuja duração é muito menor que as constantes de tempo significativas do sistema, pode ser considerada como impulsiva de intensidade igual à área sob o pulso.

**Exemplo:**



Note-se que esse resultado pode ser entendido através da integral de convolução. Para isso, considere um pulso de área unitária de duração  $t_1$  ( $t_1 \ll T$ , onde  $T$  é a menor constante de tempo do sistema) e amplitude  $1/t_1$ :



$$x(t) = \begin{cases} 0 & , \quad t < 0 \\ 1/t_1 & , \quad 0 \leq t \leq t_1 \\ 0 & , \quad t > t_1 \end{cases}$$

$$Y(s) = G(s) \cdot X(s) \Rightarrow y(t) = \int_0^t g(t-\tau) \cdot x(\tau) \cdot d\tau$$

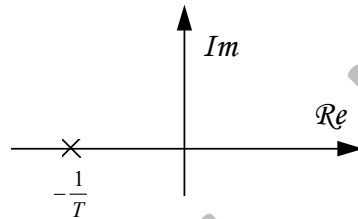
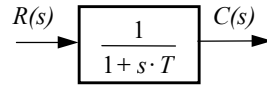
$$y(t) = \int_0^{t_1} g(t-\tau) \cdot \frac{1}{t_1} \cdot d\tau = \frac{1}{t_1} \int_0^{t_1} g(t-\tau) \cdot d\tau \quad (t \geq t_1)$$

Como  $t_1$  é suficientemente pequeno face às constantes de tempo do sistema, podemos considerar  $g(\cdot)$  praticamente constante em qualquer intervalo de duração  $t_1$  e, portanto:

$$y(t) \cong \frac{1}{t_1} \cdot [g(t) \cdot t_1] = g(t)$$

### 5.3 Sistemas de 1ª Ordem

Seja um sistema de 1ª ordem com Função de Transferência:



e condições iniciais nulas:

$$\frac{C(s)}{R(s)} = \frac{1}{1+s \cdot T} = -\frac{\frac{1}{T}}{s + \frac{1}{T}}$$

**Resposta a degrau**

$$r(t) = 1(t) \Rightarrow R(s) = \frac{1}{s} \Rightarrow C(s) = \frac{1}{1+s \cdot T} \cdot \frac{1}{s}$$

Expandindo em frações parciais e tomando a transformada inversa:

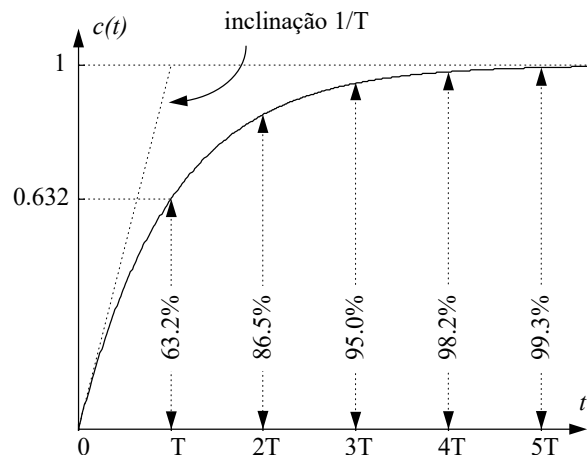
$$C(s) = \frac{1}{s} - \frac{T}{1+s \cdot T} \Rightarrow c(t) = 1 - e^{-\frac{t}{T}} \quad (t \geq 0)$$

- para  $t = T \Rightarrow c(T) = 1 - e^{-1} = 0.632$
- para  $t = 0 \Rightarrow c(0) = \frac{1}{T}$
- $\lim_{t \rightarrow \infty} c(t) = c(\infty) = 1$

No caso geral, em que o degrau tem amplitude A, como consequência da linearidade do sistema (condições iniciais nulas), tem-se:

$$c(t) = A \cdot \left(1 - e^{-\frac{t}{T}}\right) \quad (t \geq 0)$$

Portanto:



$$c(T) = A \cdot (1 - e^{-1}) \cong 0.632A$$

$$\dot{c}(0) = \frac{A}{T}$$

$$c(\infty) = A$$

Podemos escrever  $c(t)$  como:

$$c(t) = c(\infty) \cdot \left(1 - e^{-\frac{t}{T}}\right) \quad (t \geq 0)$$

donde se obtém:

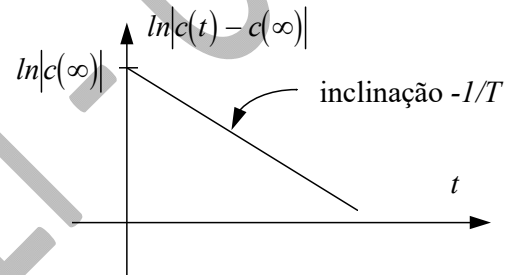
$$c(t) - c(\infty) = -c(\infty) \cdot e^{-\frac{t}{T}} \quad (t \geq 0)$$

Tomando o logaritmo do valor absoluto:

$$\ln|c(t) - c(\infty)| = \ln|c(\infty)| - \frac{t}{T} \quad (t \geq 0)$$

Portanto, o gráfico de  $\ln|c(t) - c(\infty)|$  em função de  $t$  é uma reta.

Sendo assim, quando conhecemos a saída de um S.L.I.T. com condições iniciais nulas, para sabermos se o mesmo é de 1<sup>a</sup> ordem, basta traçarmos o gráfico da função  $|c(t) - c(\infty)|$  em escala logarítmica e verificarmos se ele tem a forma de uma reta.



### Resposta a Rampa

Para entrada rampa unitária:

$$r(t) = t \cdot 1(t) \Rightarrow R(s) = \frac{1}{s^2}$$

Portanto, após decompor em frações parciais:

$$C(s) = \frac{1}{s^2} - \frac{T}{s} + \frac{T}{s + \frac{1}{T}}$$

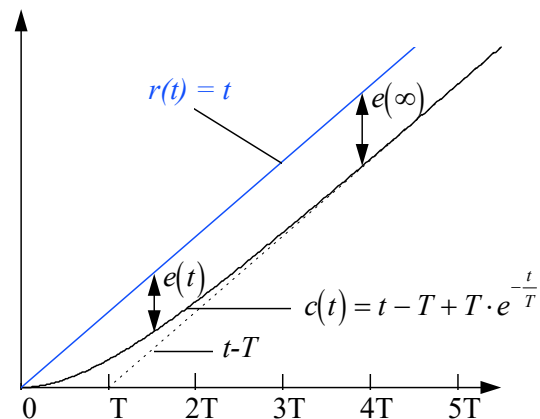
Tomando a transformada inversa:

$$c(t) = t - T + T \cdot e^{-\frac{t}{T}} \quad (t \geq 0)$$

Note que, para  $t \gg T$ , podemos aproximar:

$$c(t) \cong t - T \quad (t \gg T)$$

Note também, do diagrama de blocos, que:



$$E(s) = R(s) - C(s) \Leftrightarrow e(t) = r(t) - c(t)$$

Portanto:

$$e(t) = t - \left[ t - T + T \cdot e^{-\frac{t}{T}} \right] = T \cdot \left( 1 - e^{-\frac{t}{T}} \right)$$

Para  $t$  suficientemente grande,  $e^{-\frac{t}{T}} \ll 1$  e, portanto:

$$e(t) \cong T \quad (t \gg T)$$

Em particular:

$$\lim_{t \rightarrow \infty} e(t) = e(\infty) = T$$

o que significa que há um **erro estacionário**.

Observando a figura e amparado pelas deduções acima, pode-se afirmar que:

- i) quanto **menor**  $T$ , **mais rápido o transitório** a que está sujeita a saída  $c(t)$ ;
- ii) quanto **menor**  $T$ , **menor o erro estacionário**  $e(\infty)$ .

### Resposta a impulso

A entrada é dada por:

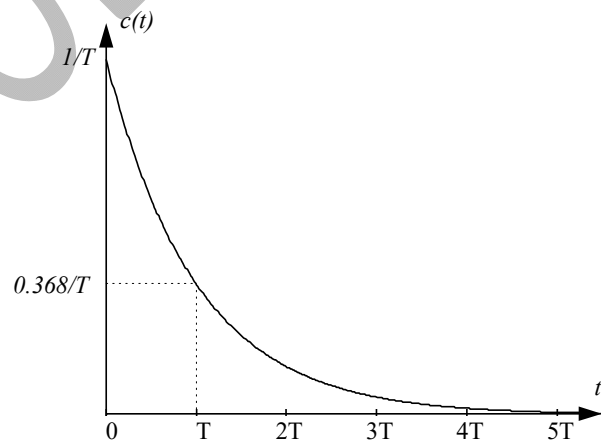
$$r(t) = \delta(t) \Rightarrow R(s) = 1$$

e, portanto, como já havíamos visto:

$$C(s) = \frac{1}{1 + s \cdot T} = \frac{\frac{1}{T}}{s + \frac{1}{T}}$$

Logo:

$$c(t) = \frac{1}{T} \cdot e^{-\frac{t}{T}} \quad (t \geq 0)$$



cujo gráfico pode ser visto ao lado.

### Propriedade

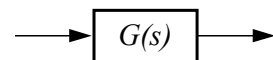
Consideremos um S.L.I.T. com Função de Transferência  $G(s)$  e **condições iniciais nulas**. Quando a entrada é uma função  $r(t)$  dada, a saída  $c(t)$  é tal que:

$$C(s) = G(s) \cdot R(s)$$

Se tomarmos agora:

$$r_1(t) = \dot{r}(t)$$

como entrada e as condições iniciais forem nulas:



$$R_1(s) = s \cdot R(s)$$

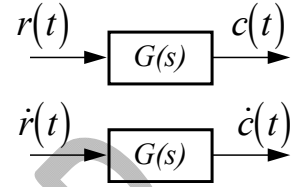
e a saída  $c_1(t)$  correspondente é tal que:

$$C_1(s) = G(s) \cdot R_1(s) = s \cdot G(s) \cdot R(s) = s \cdot C(s)$$

e, portanto:

$$c_1(t) = \dot{c}(t)$$

Assim, quando aplicamos na entrada do sistema a derivada de um sinal, a saída obtida corresponde à derivada da saída original.



O mesmo acontece com a integral. Seja:

$$r_2(t) = \int_0^t r(\tau) \cdot d\tau$$

que tem como Transformada de Laplace:

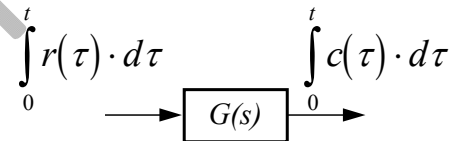
$$R_2(s) = \frac{R(s)}{s}$$

A saída  $c_2(t)$  correspondente é tal que (condições iniciais nulas):

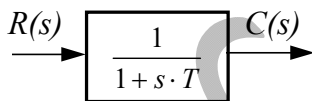
$$C_2(s) = G(s) \cdot R_2(s) = G(s) \cdot \frac{R(s)}{s} = \frac{C(s)}{s}$$

o que acarreta que:

$$c_2(t) = \int_0^t c(\tau) \cdot d\tau$$



**Exemplo:** consideremos o sistema de 1ª ordem visto e seja  $r(t)$  a rampa unitária. Conforme vimos, neste caso:



$$c(t) = t - T + T \cdot e^{-\frac{t}{T}} \quad (t \geq 0)$$

$c_1(t)$  do sistema é:

$$c_1(t) = \dot{c}(t) = 1 - e^{-\frac{t}{T}} \quad (t \geq 0)$$

Como o degrau unitário é igual à derivada da rampa unitária, a resposta a degrau

Para obtermos a resposta impulsiva, basta considerarmos que o impulso unitário pode ser visto como a derivada do degrau unitário e, portanto, a resposta impulsiva do sistema  $c_\delta(t)$  resulta de imediato como sendo:

$$c_\delta(t) = \dot{c}_1(t) = \frac{1}{T} \cdot e^{-\frac{t}{T}} \quad (t \geq 0)$$

A título de **verificação**, constata-se que esta função é igual a  $L^{-1} [ G(s) ]$ , como já havíamos visto anteriormente.

**Observação:** poderíamos ter tomado o caminho inverso, isto é, partindo da resposta impulsiva e, através de integrações sucessivas, obtido as respostas a degrau e rampa.

## 5.4 Sistemas de 2ª ordem

### Resposta a degrau

Consideremos o sistema de 2ª ordem genérico com Função de Transferência:

$$\frac{C(s)}{R(s)} = \frac{\omega_n^2}{s^2 + 2\xi\omega_n \cdot s + \omega_n^2} \quad (\omega_n > 0)$$

Os polos deste sistema são as raízes de:

$$s^2 + 2\xi\omega_n \cdot s + \omega_n^2 = 0.$$

Analisemos a localização dos polos em função dos parâmetros do sistema. Temos:

$$s_{1,2} = \frac{-2\xi\omega_n \pm \sqrt{4\xi^2\omega_n^2 - 4\omega_n^2}}{2} = \omega_n \cdot \left(-\xi \pm \sqrt{\xi^2 - 1}\right).$$

Em todos os problemas de controle, o requisito **fundamental** a ser atendido é a estabilidade do sistema, o que se traduz pela necessidade de que os polos do sistema se situem no semi-plano esquerdo (S.P.E.).

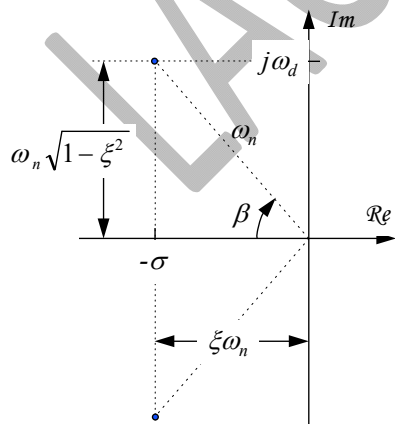
Tendo em vista este fato, há três casos a considerar:

- $0 < \xi < 1 \Rightarrow s_1, s_2$  são complexos conjugados (subamortecimento)
- $\xi = 1 \Rightarrow s_1 = s_2$  são reais (amortecimento crítico)
- $\xi > 1 \Rightarrow s_1 \neq s_2$  são reais (superamortecimento ou sobreamortecimento)

Às demais possibilidades quanto aos valores de  $\xi$  corresponde sempre a existência de dois polos no semi-plano direito (S.P.D.) – quando  $\xi < 0$  – ou dois polos sobre o eixo imaginário – quando  $\xi = 0$ . No primeiro caso o sistema é instável e, no segundo, sem amortecimento.

Estudemos, então, cada um dos três casos anteriores quando a entrada é um **degrau unitário**.

#### 1º Caso: $0 < \xi < 1$ - Subamortecimento



Neste caso, os polos do sistema são:

$$s_{1,2} = -\xi\omega_n \pm j \cdot \omega_n \sqrt{1 - \xi^2} = -\sigma \pm j \cdot \omega_d$$

A figura ao lado mostra a representação desses polos no plano complexo.

Note que:

$$\xi = \cos(\beta) \quad \text{e} \quad \sqrt{1 - \xi^2} = \sin(\beta)$$

Nomenclatura:

$\omega_n$  = frequência natural não amortecida

$\omega_d$  = frequência natural amortecida

$\xi$  = coeficiente de amortecimento

Vamos ver em seguida as razões dessas designações.

Aplicando um degrau unitário na entrada do sistema  $\left(R(s) = \frac{1}{s}\right)$  e considerando condições iniciais nulas, a saída será:

$$C(s) = \frac{\omega_n^2}{s \cdot (s + \sigma + j\omega_d) \cdot (s + \sigma - j\omega_d)}$$

Expandindo em frações parciais e antitransformando cada parcela (ou consultando uma tabela), obtém-se:

$$c(t) = 1 - \frac{1}{\sqrt{1-\xi^2}} \cdot e^{-\sigma t} \cdot \text{sen}(\omega_d t + \beta) \quad (t \geq 0)$$

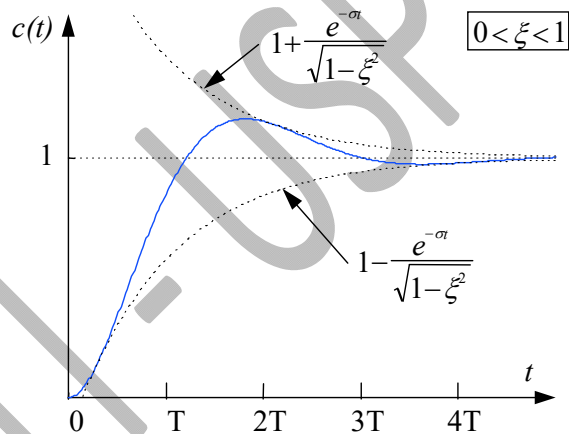
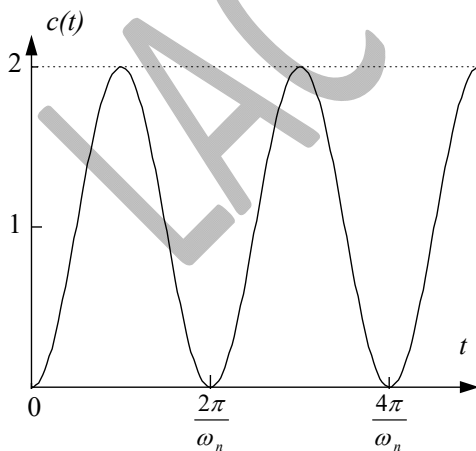
O gráfico de  $c(t)$  tem o aspecto mostrado na figura ao lado.

Nota-se que:

- i) a resposta  $c(t)$  é uma oscilação amortecida;
- ii) a frequência de oscilação é  $\omega_d$  (daí a designação frequência natural amortecida) e, portanto, depende tanto de  $\omega_n$  quanto de  $\xi$ , sendo sempre  $\omega_d < \omega_n$  e, à medida que  $\xi$  aumenta,  $\omega_d$  diminui;
- iii) a envoltória das oscilações é uma exponencial amortecida com constante de tempo  $T = 1/\sigma$ , que também depende de  $\omega_n$  e  $\xi$ , e, à medida que  $\omega_n$  ou  $\xi$  aumentam,  $\sigma$  aumenta e  $T$  diminui;
- iv) o valor estacionário da resposta é  $c(\infty) = 1$  e, portanto, a saída é igual à entrada;
- v) apenas como verificação, nota-se que:

$$c(0) = 1 - \frac{1}{\sqrt{1-\xi^2}} \cdot \text{sen}(\beta) = 0$$

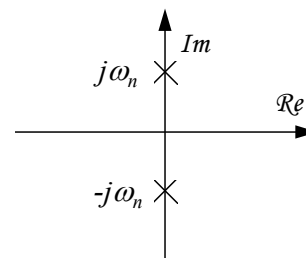
**Observação:** no caso em que o coeficiente de amortecimento é nulo ( $\xi=0$ ), pode-se mostrar que:



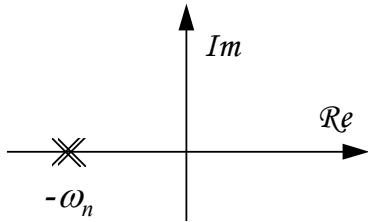
$$c(t) = 1 - \cos(\omega_n t) \quad (t \geq 0)$$

e a saída tem o aspecto indicado na figura ao lado. Portanto:

- i)  $c(t)$  **não** é amortecida;
- ii) a frequência de oscilação é  $\omega_n$  (daí a designação frequência natural não amortecida);





**2º Caso:  $\xi = 1$  - Amortecimento crítico**

Neste caso, o sistema tem dois polos reais, negativos e iguais:

$$s_1 = s_2 = -\omega_n < 0,$$

pois

$$\frac{C(s)}{R(s)} = \frac{\omega_n^2}{s^2 + 2\omega_n s + \omega_n^2} = \frac{\omega_n^2}{(s + \omega_n)^2}.$$

A figura ao lado mostra a representação desses polos no plano complexo.

Se a entrada é um degrau unitário ( $R(s) = \frac{1}{s}$ ), então:

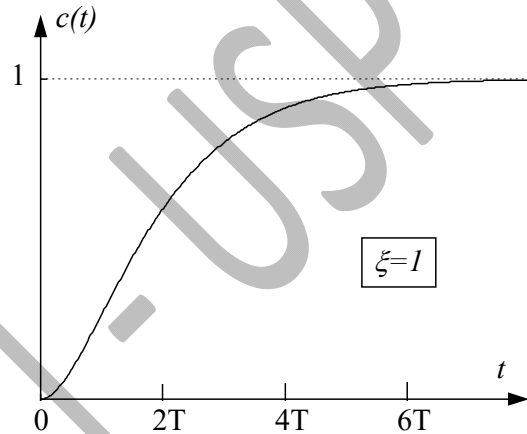
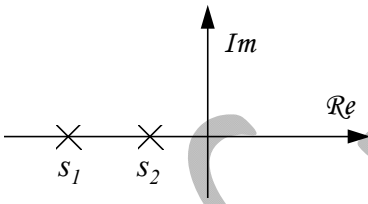
$$C(s) = \frac{\omega_n^2}{s \cdot (s + \omega_n)^2}$$

Antitransformando:

$$c(t) = 1 - (1 + \omega_n t) \cdot e^{-\omega_n t} \quad (t \geq 0)$$

O aspecto de  $c(t)$  é mostrado na figura ao lado.

Nota-se, portanto, que  $c(t)$  tende assintoticamente a 1, ou seja, a saída tende a tomar o valor da entrada para  $t \rightarrow \infty$ .

**3º Caso:  $\xi > 1$  - Superamortecimento**

Neste caso, os polos do sistema são reais, negativos e distintos:

$$s_1 = \omega_n \cdot \left( -\xi - \sqrt{\xi^2 - 1} \right) < 0$$

$$s_2 = \omega_n \cdot \left( -\xi + \sqrt{\xi^2 - 1} \right) < 0$$

Fazendo  $R(s) = \frac{1}{s}$ , vem:

$$C(s) = \frac{\omega_n^2}{s \cdot (s - s_1) \cdot (s - s_2)},$$

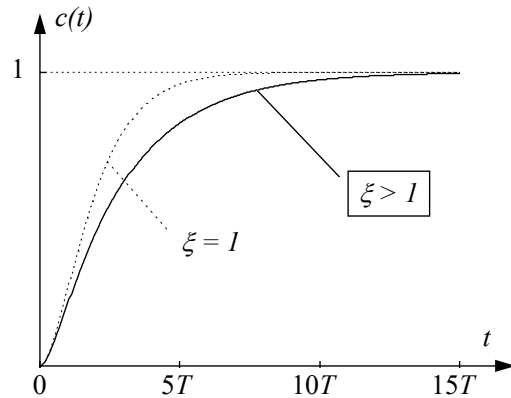
cujas antitransformadas são:

$$c(t) = 1 + \frac{\omega_n}{2\sqrt{\xi^2 - 1}} \cdot \left( \frac{e^{s_2 t}}{s_2} - \frac{e^{s_1 t}}{s_1} \right) \quad (t \geq 0)$$

Assim, a resposta é uma soma algébrica de duas exponenciais decrescentes.

Também neste caso:

$$c(\infty) = 1$$

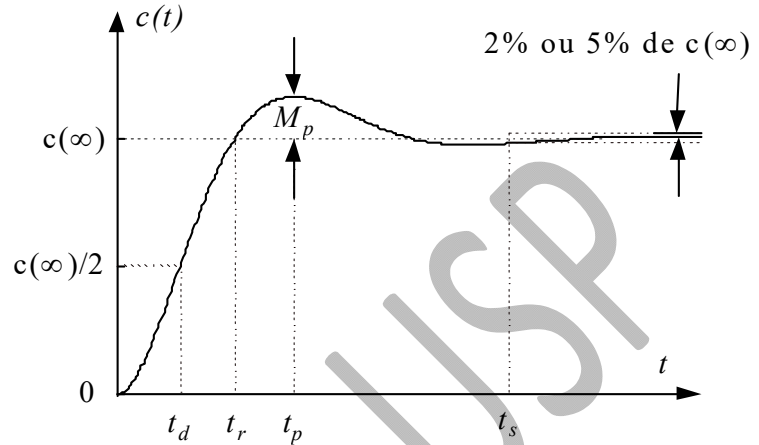
**Especificações da Resposta Transitória**

É grande o número de casos práticos em que as especificações de desempenho do sistema de controle são estabelecidas com base em grandezas relacionadas à sua **resposta temporal**. A resposta a **degrau** é, com frequência, usada como referência para essas especificações. Além de ser **simples de testar**, ela representa uma excitação bastante **severa** sobre o sistema, dado que a entrada **muda bruscamente** de nível no instante da aplicação do degrau. Sua importância reside tanto no estudo da resposta transitória como da resposta em regime estacionário.

As variáveis associadas à resposta temporal são definidas para a entrada degrau unitário no caso **oscilatório** por razões que serão discutidas a seguir.

São elas (vide figura):

- tempo de atraso (*delay time*) ( $t_d$ );
- tempo de subida (*rise time*) ( $t_r$ );
- instante de pico (*peak time*) ( $t_p$ );
- tempo de acomodação (*settling time*) ( $t_s$ );
- sobressinal máximo (*maximum peak*) ( $M_p$ );



O sobressinal é uma medida relativa de quanto (no máximo) a resposta transitória ultrapassa o seu valor estacionário, sendo definido como:

$$M_p = \frac{c(t_p) - c(\infty)}{c(\infty)}$$

É importante observar que no caso em que  $c(\infty) = 1$ ,  $M_p = c(t_p) - 1$ .<sup>1</sup>

Nos casos de **superamortecimento** ou **amortecimento crítico**, define-se **tempo de subida** como o intervalo necessário para a resposta ir de 10% a 90% do valor estacionário.

O **tempo de acomodação** depende diretamente da **constante de tempo mais lenta** do sistema.

A razão para se definir os parâmetros da resposta transitória tomando por base o caso **oscilatório** é que, em geral, deseja-se que a resposta a degrau seja rápida ( $t_r$  **pequeno**) e com pouco sobressinal ( $M_p$  **pequeno**). No entanto, esses dois requisitos são **conflitantes**. Por um lado, a resposta não oscilatória seria interessante, pois  $M_p$  seria nulo; no entanto, neste caso, a resposta seria, em muitos casos práticos, proibitivamente lenta. Em geral, tempos de subida aceitáveis são obtidos apenas às custas de uma resposta de caráter oscilatório, o que significa existência de sobressinal.

Nesta seção a discussão até este ponto se deu sobre um sistema genérico, de ordem qualquer. Daqui em diante, contudo, restringiremos nossa atenção aos sistemas de 2ª ordem. A razão para isso é que, para fins de projeto, muitas vezes se pode aproximar um sistema de ordem elevada por um de 2ª ordem. Vamos expressar cada uma das variáveis  $t_r$ ,  $t_p$ ,  $M_p$  e  $t_s$  como função dos parâmetros  $\omega_n$  e  $\xi$  do sistema de 2ª ordem, a saber,

$$\frac{C(s)}{R(s)} = \frac{\omega_n^2}{s^2 + 2\xi\omega_n \cdot s + \omega_n^2}$$

e considerando como sinal de entrada o degrau unitário.

<sup>1</sup> Este é o caso quando o degrau de referência é unitário e o erro estacionário é nulo (portanto, em regime estacionário a saída também tem valor unitário).

a) **Tempo de Subida** ( $t_r$ ):

Da definição,  $t_r$  é o primeiro instante tal que:

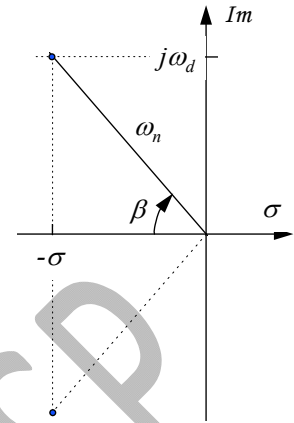
$$c(t_r) = 1.$$

Ou seja:

$$1 = 1 - \frac{1}{\sqrt{1-\xi^2}} \cdot e^{-\sigma t_r} \cdot \text{sen}(\omega_d t_r + \beta)$$

$$\Rightarrow \text{sen}(\omega_d t_r + \beta) = 0$$

$$\Rightarrow \omega_d t_r + \beta = \pi \Rightarrow \boxed{t_r = \frac{\pi - \beta}{\omega_d}}$$



Portanto:

- quando  $\beta$  está fixo, para que  $t_r$  seja "pequeno" é necessário que  $\omega_d$  (e, por conseguinte,  $\omega_n$ ) seja "grande";
- quando  $\omega_d$  está fixo,  $t_r$  "pequeno" requer  $\beta$  "grande" (e, portanto, o sistema se torna muito oscilatório, pois os polos tendem a se aproximar do eixo imaginário).

b) **Instante de Pico** ( $t_p$ ):

Para que  $t = t_p$  seja instante de pico, é necessário que:

$$\dot{c}(t_p) = 0$$

Derivando  $c(t)$ , vem:

$$\dot{c}(t) = -\frac{e^{-\sigma t}}{\sqrt{1-\xi^2}} \cdot [\omega_d \cdot \cos(\omega_d t + \beta) - \sigma \cdot \text{sen}(\omega_d t + \beta)],$$

de onde resulta que:

$$\omega_d \cdot \cos(\omega_d t_p + \beta) - \sigma \cdot \text{sen}(\omega_d t_p + \beta) = 0$$

Mas:

$$\omega_d = \omega_n \cdot \text{sen}(\beta) \quad \text{e} \quad \sigma = \omega_n \cdot \cos(\beta)$$

E, portanto:

$$\omega_n \cdot [\text{sen}(\beta) \cdot \cos(\omega_d t_p + \beta) - \cos(\beta) \cdot \text{sen}(\omega_d t_p + \beta)] = 0$$

$$\Rightarrow \text{sen}(\beta - \omega_d t_p - \beta) = 0$$

$$\Rightarrow \text{sen}(-\omega_d t_p) = -\text{sen}(\omega_d t_p) = 0$$

Assim, o primeiro pico corresponde a:

$$\omega_d t_p = \pi$$

Isto é:

$$\boxed{t_p = \frac{\pi}{\omega_d}}$$

Note-se que o período de oscilação que corresponde à frequência amortecida  $\omega_d$  é de  $\frac{2\pi}{\omega_d}$  e, portanto,  $t_p$  corresponde à **metade** desse período.

c) **Sobressinal máximo** ( $M_p$ ):

Para calcular  $M_p$ , basta notar que, para o caso de degrau unitário, da definição tem-se:

$$M_p = c(t_p) - 1$$

Portanto:

$$M_p = -\frac{1}{\sqrt{1-\xi^2}} \cdot e^{-\sigma t_p} \cdot \text{sen}(\omega_d t_p + \beta) = \frac{1}{\sqrt{1-\xi^2}} \cdot e^{-\sigma t_p} \cdot \text{sen}(\beta) = e^{-\sigma t_p}$$

Mas:

$$\sigma \cdot t_p = \sigma \cdot \frac{\pi}{\omega_d} = \omega_n \cdot \cos(\beta) \cdot \frac{\pi}{\omega_n \cdot \text{sen}(\beta)} = \pi \cdot \frac{\xi}{\sqrt{1-\xi^2}}$$

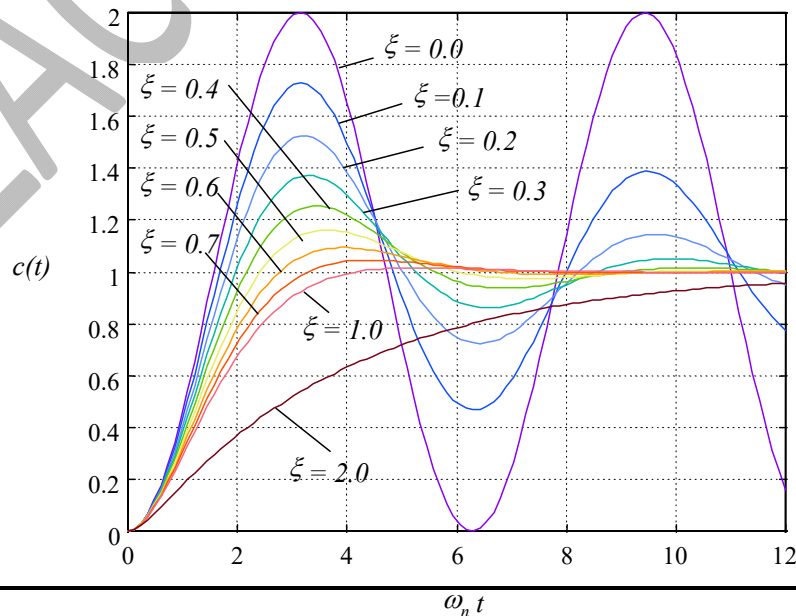
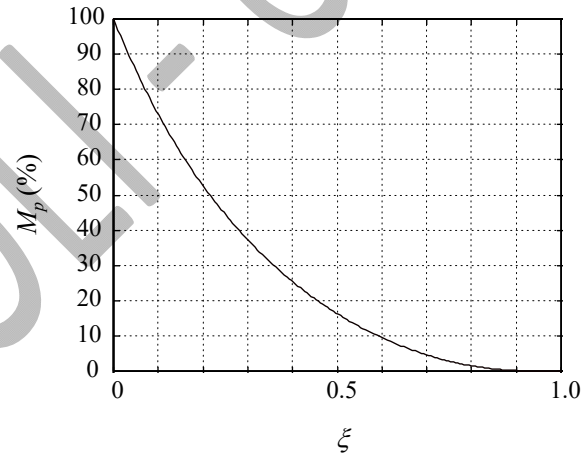
Portanto:

$$M_p = e^{-\pi \frac{\xi}{\sqrt{1-\xi^2}}}$$

Assim, o sobressinal  $M_p$  é determinado apenas pelo coeficiente  $\xi$ .

O gráfico de  $M_p$  x  $\xi$  tem o aspecto indicado na figura ao lado.

Para melhor visualizar o significado desse comportamento, a figura abaixo ilustra a resposta a degrau do sistema de 2ª ordem parametrizado em  $\xi$ .



d) **Tempo de acomodação** ( $t_s$ ):

Conforme vimos, para um sistema subamortecido:

$$c(t) = 1 - \frac{1}{\sqrt{1-\xi^2}} \cdot e^{-\sigma} \cdot \text{sen}(\omega_d t + \beta) \quad (t \geq 0)$$

Ou seja, a resposta  $c(t)$  tem como envoltórias as funções:

$$f_1(t) = 1 + \frac{1}{\sqrt{1-\xi^2}} \cdot e^{-\sigma}$$

$$f_2(t) = 1 - \frac{1}{\sqrt{1-\xi^2}} \cdot e^{-\sigma}$$

Tanto  $f_1(t)$  como  $f_2(t)$  têm como constante de tempo:

$$T = \frac{1}{\sigma}$$

Esta constante de tempo define a velocidade com que a faixa da envoltória de  $c(t)$  se reduz.

Adotando a faixa de 2% em torno do valor estacionário para definir  $t_s$ , pode-se mostrar que:

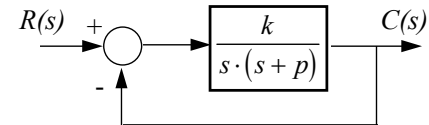
$$t_s(2\%) \cong 4T = \frac{4}{\sigma} = \frac{4}{\xi\omega_n} \quad (0 < \xi < 0.9)$$

Para a faixa de 5%, por outro lado:

$$t_s(5\%) \cong 3T = \frac{3}{\sigma} = \frac{3}{\xi\omega_n} \quad (0 < \xi < 0.9)$$

Note que é possível reduzir o tempo de acomodação (que é uma medida do tempo de duração do transitório) aumentando  $\omega_n$ , mesmo que  $\xi$  esteja fixo pela especificação do sobressinal.

**Exemplo:** Considere o sistema representado na figura. Deseja-se selecionar os parâmetros  $p$  e  $k$  de maneira que  $M_p \leq 0.05$  e  $t_s(2\%) \leq 4s$ .



Para:

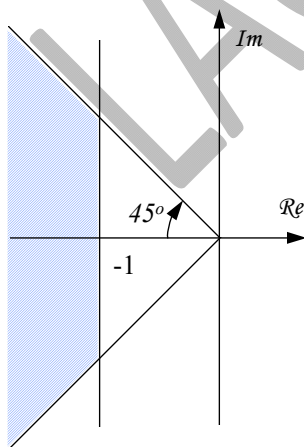
$$\xi \geq \frac{\sqrt{2}}{2}, \quad M_p \leq 0.043 < 0.05$$

Por outro lado:

$$t_s(2\%) \cong \frac{4}{\xi\omega_n} \leq 4 \Rightarrow \xi\omega_n \geq 1$$

Essas duas condições definem a região admissível para a localização dos polos de malha fechada como sendo aquela hachurada na figura ao lado. Podemos escolher, por exemplo,  $-1 \pm j$ . Tendo em vista que a função de transferência de malha fechada é

$$\frac{C(s)}{R(s)} = \frac{k}{s^2 + ps + k}$$



e identificando os polinômios

$$(s+1-j)(s+1+j) \equiv s^2 + ps + k$$

resultam os valores  $p = 2$  e  $k = 2$ .

## 5.5 Estabilidade

O requisito mais importante dos sistemas de controle é a sua estabilidade. Ele deve ser garantido antes do atendimento de qualquer outra especificação relativa ao comportamento do sistema.

É imediato concluir que uma condição necessária e suficiente (C.N.S.) para a estabilidade dos S.L.I.T. é que **todos** os seus **polos** tenham **parte real negativa** (isto é, se situem no S.P.E.). **Se não fosse assim**, os termos da expansão em frações parciais associados aos polos do S.P.D. forneceriam contribuições à saída do tipo **exponencial crescente** e o sistema seria instável.

Sistemas com polos sobre o eixo imaginário, inclusive na origem, não são assintoticamente estáveis. Quando os polos são imaginários puros, o sistema apresenta uma resposta na forma de oscilações não amortecidas quando a condições inicial é não nula; quando há pelo menos um polo na origem, a resposta a degrau é ilimitada e, portanto, o sistema não é BIBO-estável.

### Critério de Routh

O Critério de Routh permite determinar o **número de polos** de um sistema situados **no S.P.D.** de maneira simples, isto é, sem ter que calcular as raízes do polinômio do denominador da Função de Transferência.

Considere-se, então, o sistema:

$$\frac{C(s)}{R(s)} = \frac{b_0's^m + b_1's^{m-1} + \dots + b_{m-1}'s + b_m'}{a_0s^n + a_1s^{n-1} + \dots + a_{n-1}s + a_n} = \frac{B(s)}{A(s)}$$

sendo o problema saber se  $A(s)$  tem raízes no S.P.D.

O procedimento é o seguinte:

- escreva  $A(s)$  na forma  $A(s) = a_0s^n + a_1s^{n-1} + \dots + a_{n-1}s + a_n$ . Admite-se que  $a_n \neq 0$ , isto é, que eventuais raízes nulas de  $A(s)$  já tenham sido removidas.
- arranje, então, os coeficientes do polinômio numa tabela da seguinte forma:

$s^n$	$a_0$	$a_2$	$a_4$	$a_6$	...	0	Dados
$s^{n-1}$	$a_1$	$a_3$	$a_5$	$a_7$	...	0	
$s^{n-2}$	$b_1$	$b_2$	$b_3$	$b_4$	...		Calculados
$s^{n-3}$	$c_1$	$c_2$	$c_3$	$c_4$	...		
$\vdots$	$\vdots$						
$s^1$	$f_1$						
$s^0$	$g_1$						

onde:

$$b_1 = \frac{a_1a_2 - a_0a_3}{a_1} \quad e \quad c_1 = \frac{b_1a_3 - a_1b_2}{b_1}$$

$$b_2 = \frac{a_1a_4 - a_0a_5}{a_1} \quad e \quad c_2 = \frac{b_1a_5 - a_1b_3}{b_1}$$

$$b_3 = \frac{a_1a_6 - a_0a_7}{a_1} \quad e \quad c_3 = \frac{b_1a_7 - a_1b_4}{b_1}$$



Neste problema, podemos aplicar diretamente o Critério de Routh, pois o Teste de Hurwitz não permite resolvê-lo, conforme se vê a seguir (o Teste de Hurwitz só permite determinar condições em que o sistema não é estável!).

### Critério de Routh:

Tabela de Routh: veja ao lado.

Para a estabilidade devemos ter:

$$\begin{cases} \frac{3k-20}{4} > 0 \\ k > 0 \end{cases} \Rightarrow \boxed{k > \frac{20}{3}}$$

$s^3$	1	$k-5$
$s^2$	4	$k$
$s^1$	$\frac{3k-20}{4}$	
$s^0$	$k$	

**Conclusão:** O sistema é estável se e apenas se

$$\boxed{k > \frac{20}{3}}$$

Nota-se aqui um benefício da realimentação: um sistema instável em malha aberta pode ser estabilizado utilizando-se um esquema de realimentação.

### Teste de Hurwitz:

Para que todos os coeficientes de  $A(s)$  estejam presentes e tenham o mesmo sinal (isto é, sejam positivos):

$$\begin{cases} k-5 > 0 \\ k > 0 \end{cases} \Rightarrow \boxed{k > 5}$$

Portanto, se  $k > 5$  nada se pode concluir a respeito da estabilidade; por outro lado, se  $k \leq 5$ , o sistema é **instável**.

**Observação:** Note que a conclusão que decorre da aplicação do Teste de Hurwitz está contida naquela resultante do Critério de Routh.

## Resumo - Importante!

Note que o Critério de Hurwitz **não** permite concluir que um sistema é **estável**. Por outro lado, o Critério de Routh é uma condição necessária e suficiente de estabilidade. Em outras palavras, dele **sempre** se pode concluir se o sistema é estável ou instável.

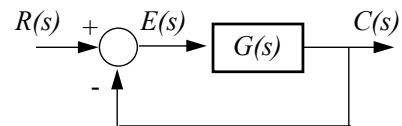
Em resumo, como o Critério de Hurwitz é muito simples de aplicar, pode-se eventualmente concluir que o sistema não é estável rapidamente; quando nada se conclui, então deve-se aplicar o Critério de Routh. Por outro lado, o Critério de Routh é sempre conclusivo, mas é mais trabalhoso de aplicar.

## 5.6 Erro estacionário

O desempenho de muitos sistemas de controle pode ser especificado não apenas com base na sua resposta transitória, mas também pelo erro estacionário em relação a certos sinais de referência, tais como degraus, rampas e parábolas. A este respeito, um conceito útil em teoria de controle é o de **tipo do sistema**, que está associado a uma medida qualitativa da precisão com que o sistema é capaz de acompanhar, em regime estacionário, as entradas acima.

Consideremos o sistema em malha fechada com **realimentação unitária** representado na figura ao lado. Seja  $G(s)$  escrita na forma<sup>2</sup>:

$$G(s) = \frac{K_0 \cdot (\tau_1 s + 1) \cdot (\tau_2 s + 1) \cdot \dots \cdot (\tau_m s + 1)}{s^N \cdot (T_1 s + 1) \cdot (T_2 s + 1) \cdot \dots \cdot (T_p s + 1)},$$



onde os polos na origem em malha aberta foram explicitados através do termo  $s^N$ . Esta forma de escrever a função de transferência será chamada aqui de **forma de constantes de tempo**.

<sup>2</sup> Apesar de esta forma implicitamente considerar apenas polos e zeros reais, as conclusões desta seção são válidas também para o caso em que há pares de polos ou zeros complexos conjugados (escritos na forma normalizada).



O valor de  $N$  define o **tipo** do sistema. Usualmente, fala-se em sistemas tipo 0, 1 ou 2, respectivamente, para  $N = 0, 1$  ou 2.

À medida que cresce o tipo do sistema, aumenta sua capacidade de seguir entradas, no sentido: degrau  $\mapsto$  rampa  $\mapsto$  parábola. Em compensação, sistemas de tipos mais altos requerem compensadores mais complexos para sua estabilização.

Para o sistema representado pelo diagrama de blocos acima, obtém-se facilmente a Função de Transferência que relaciona  $E(s)$  a  $R(s)$ :

$$E(s) = \frac{1}{1 + G(s)} \cdot R(s)$$

Admitindo que o sistema em malha fechada seja estável, o Teorema do Valor Final fornece:

$$e(\infty) = \lim_{t \rightarrow \infty} e(t) = \lim_{s \rightarrow 0} s \cdot E(s) = \lim_{s \rightarrow 0} \frac{s \cdot R(s)}{1 + G(s)}$$

Na verdade, a aplicação direta do Teorema do Valor Final permite resolver qualquer problema relativo a erro estacionário.

Os coeficientes de erro estacionário definidos a seguir são figuras de mérito de sistemas de controle no sentido de que, quanto maiores esses coeficientes, tanto menores os erros estacionários.

### Entrada Degrau Unitário

Quando  $R(s) = \frac{1}{s}$ :

$$e(\infty) = \lim_{s \rightarrow 0} \frac{1}{1 + G(s)}$$

Define-se **coeficiente de erro de posição estacionário**  $K_p$  como

$$K_p = \lim_{s \rightarrow 0} G(s),$$

de maneira que

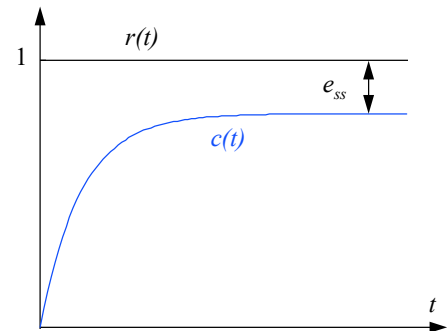
$$e(\infty) = \frac{1}{1 + K_p}.$$

No caso de sistemas do **tipo 0**:

$$K_p = \lim_{s \rightarrow 0} \frac{K_0 \cdot (\tau_1 s + 1) \cdot (\tau_2 s + 1) \cdot \dots \cdot (\tau_m s + 1)}{(T_1 s + 1) \cdot (T_2 s + 1) \cdot \dots \cdot (T_p s + 1)} = K_0$$

E, portanto:

$$e(\infty) = \frac{1}{1 + K_0} \quad (\text{tipo 0})$$



Quando se trata de sistemas do **tipo 1**:

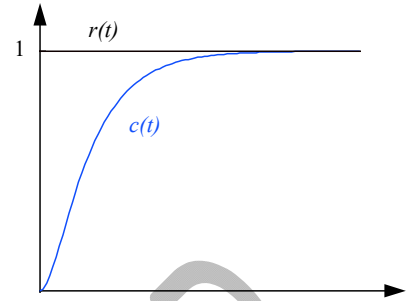
$$K_p = \lim_{s \rightarrow 0} \frac{K_0 \cdot (\tau_1 s + 1) \cdot (\tau_2 s + 1) \cdot \dots \cdot (\tau_m s + 1)}{s \cdot (T_1 s + 1) \cdot (T_2 s + 1) \cdot \dots \cdot (T_p s + 1)} = \infty$$

e, da mesma forma, para sistemas do **tipo 2**:

$$K_p = \infty$$

Nestes dois casos:

$$e(\infty) = 0 \quad (\text{tipo 1, 2 ou maior})$$



### Entrada Rampa Unitária

Neste caso,

$$R(s) = \frac{1}{s^2}$$

e, por conseqüência,

$$e(\infty) = \lim_{s \rightarrow 0} \frac{1}{s \cdot [1 + G(s)]} = \lim_{s \rightarrow 0} \frac{1}{s \cdot G(s)}$$

O **coeficiente de erro de velocidade estacionário** é definido como

$$K_v = \lim_{s \rightarrow 0} [s \cdot G(s)]$$

Assim, o erro estacionário para a entrada rampa unitária é dado por

$$e(\infty) = \frac{1}{K_v}$$

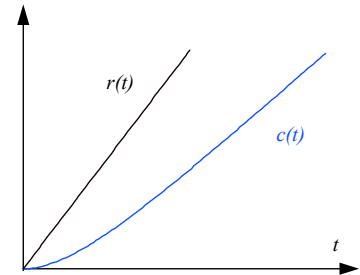
Para sistemas do **tipo 0**,

$$K_v = \lim_{s \rightarrow 0} \frac{sK_0 \cdot (\tau_1 s + 1) \cdot (\tau_2 s + 1) \cdot \dots \cdot (\tau_m s + 1)}{(T_1 s + 1) \cdot (T_2 s + 1) \cdot \dots \cdot (T_p s + 1)} = 0$$

e, portanto,

$$e(\infty) = \infty \quad (\text{tipo 0}).$$

A rigor, isto significa que, de fato, o regime estacionário não é atingido.



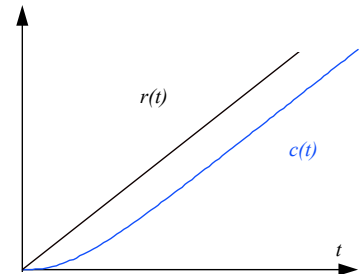
Se o sistema é do **tipo 1**, então

$$K_v = \lim_{s \rightarrow 0} \frac{sK_0 \cdot (\tau_1 s + 1) \cdot (\tau_2 s + 1) \cdot \dots \cdot (\tau_m s + 1)}{s \cdot (T_1 s + 1) \cdot (T_2 s + 1) \cdot \dots \cdot (T_p s + 1)} = K_0,$$

de onde resulta que

$$e(\infty) = \frac{1}{K_0} \quad (\text{tipo 1}).$$

Por fim, no caso de sistemas do **tipo 2**,



$$K_v = \lim_{s \rightarrow 0} \frac{sK_0 \cdot (\tau_1 s + 1) \cdot (\tau_2 s + 1) \cdot \dots \cdot (\tau_m s + 1)}{s^2 \cdot (T_1 s + 1) \cdot (T_2 s + 1) \cdot \dots \cdot (T_p s + 1)} = \infty$$

e, dessa forma,

$$\boxed{e(\infty) = 0} \quad (\text{tipo 2 ou maior}).$$

### Entrada Parábola Unitária

Para uma entrada do tipo

$$r(t) = \frac{t^2}{2} \quad (t \geq 0) \Rightarrow R(s) = \frac{1}{s^3}.$$

Neste caso,

$$e(\infty) = \lim_{s \rightarrow 0} \frac{1}{s^2 \cdot [1 + G(s)]} = \lim_{s \rightarrow 0} \frac{1}{s^2 \cdot G(s)}.$$

Define-se o **coeficiente de erro de aceleração estacionário** como

$$K_a = \lim_{s \rightarrow 0} [s^2 \cdot G(s)],$$

de forma que

$$e(\infty) = \frac{1}{K_a}.$$

Se o sistema é do **tipo 0**,

$$K_a = \lim_{s \rightarrow 0} \frac{s^2 \cdot K_0 \cdot (\tau_1 s + 1) \cdot (\tau_2 s + 1) \cdot \dots \cdot (\tau_m s + 1)}{(T_1 s + 1) \cdot (T_2 s + 1) \cdot \dots \cdot (T_p s + 1)} = 0$$

e, se o sistema é do **tipo 1**,

$$K_a = \lim_{s \rightarrow 0} \frac{s^2 \cdot K_0 \cdot (\tau_1 s + 1) \cdot (\tau_2 s + 1) \cdot \dots \cdot (\tau_m s + 1)}{s \cdot (T_1 s + 1) \cdot (T_2 s + 1) \cdot \dots \cdot (T_p s + 1)} = 0.$$

Nestes dois casos,

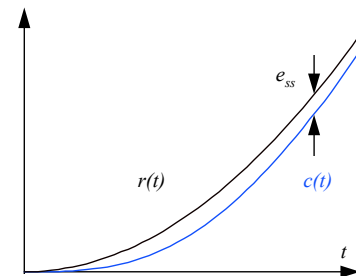
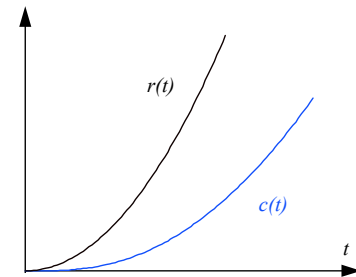
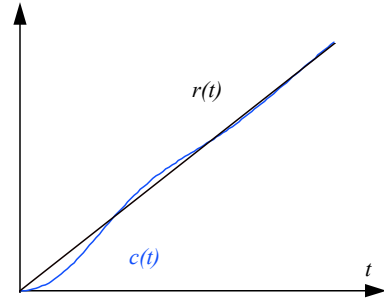
$$\boxed{e(\infty) = \infty} \quad (\text{tipo 0 ou 1}).$$

Para sistemas do **tipo 2**,

$$K_a = \lim_{s \rightarrow 0} \frac{s^2 \cdot K_0 \cdot (\tau_1 s + 1) \cdot (\tau_2 s + 1) \cdot \dots \cdot (\tau_m s + 1)}{s^2 \cdot (T_1 s + 1) \cdot (T_2 s + 1) \cdot \dots \cdot (T_p s + 1)} = K_0$$

e, portanto,

$$\boxed{e(\infty) = \frac{1}{K_0}} \quad (\text{tipo 2}).$$

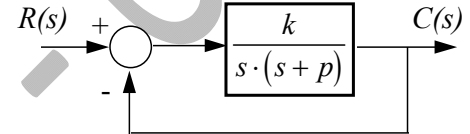


**Resumo**

	$r(t) \ (t \geq 0)$		
Tipo do Sistema	1	$t$	$\frac{t^2}{2}$
0	$\frac{1}{1+K_0}$	$\infty$	$\infty$
1	0	$\frac{1}{K_0}$	$\infty$
2	0	0	$\frac{1}{K_0}$

**Exemplo:** Um servomecanismo utilizando um motor C.C. controlado pela armadura pode ser representado pelo diagrama de blocos ao lado. Neste caso, como se observa:

$$G(s) = \frac{k}{s \cdot (s+p)} = \frac{\frac{k}{p}}{s \cdot \left(\frac{1}{p} \cdot s + 1\right)}$$



e, portanto, trata-se de um sistema do tipo 1, para o qual:

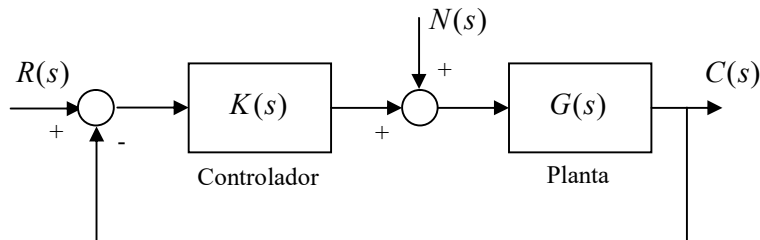
$$K_0 = \frac{k}{p}$$

Sendo assim:

- para entrada degrau unitário:  $e(\infty) = 0$
- para entrada rampa unitária:  $e(\infty) = \frac{1}{K_0}$
- para entrada parábola unitária:  $e(\infty) = \infty$

### 5.7 Rejeição de Perturbações em Regime Estacionário

Considere-se o sistema de controle em malha fechada representado na figura abaixo, em que  $N(s)$  representa uma perturbação que age na entrada da planta.



A questão que se coloca é determinar em que condições o sistema é capaz de rejeitar a perturbação  $N(s)$  em regime estacionário. Ou seja, em que condições o efeito em regime estacionário da perturbação sobre a saída do sistema é nulo. Para isso serão considerados dois tipos de perturbações, a saber, degraus e rampas.

Admita-se o caso geral em que  $G(s)$  é expresso por

$$G(s) = \frac{K_{0G} (\tau_1 s + 1) \cdots (\tau_m s + 1)}{s^{N_G} (T_1 s + 1) \cdots (T_p s + 1)},$$

em que  $N_G \geq 0$  representa o número de polos na origem de  $G(s)$ .

Definindo

$$G'(s) = \frac{K_{0G} (\tau_1 s + 1) \cdots (\tau_m s + 1)}{(T_1 s + 1) \cdots (T_p s + 1)},$$

pode-se reescrever  $G(s)$  como

$$G(s) = \frac{G'(s)}{s^{N_G}},$$

em que  $G'(s)$  contém apenas os polos não nulos de  $G(s)$  e

$$\lim_{s \rightarrow 0} G'(s) = K_{0G}.$$

É interessante notar que, quando  $G(s)$  não tem polos na origem ( $N_G = 0$ ), o fator  $s^{N_G}$  do denominador reduz-se a 1 e  $G'(s) = G(s)$ . Neste caso em que  $N_G = 0$ , sem qualquer crise de consciência, podemos escrever simbolicamente que  $\lim_{s \rightarrow 0} s^{N_G} = 1$ , apesar de  $0^0$  representar formalmente uma indeterminação.

De maneira inteiramente análoga, reescreve-se  $K(s)$  na forma

$$K(s) = \frac{K'(s)}{s^{N_K}},$$

em que  $N_K \geq 0$  representa o número de polos na origem de  $K(s)$ ,  $K'(s)$  contém apenas os polos não nulos de  $K(s)$  e

$$\lim_{s \rightarrow 0} K'(s) = K_{0K}.$$

Tendo em vista a linearidade do sistema, a saída  $C(s)$  é dada por duas parcelas:  $C_R(s)$ , que é produzida por  $R(s)$ , e  $C_N(s)$ , proveniente de  $N(s)$ , isto é,

$$C(s) = C_R(s) + C_N(s).$$

Para se estudar o efeito da perturbação  $N(s)$  sobre a saída, pode-se considerar  $R(s) = 0$  e, portanto,

$$C(s) = C_N(s) = \frac{G(s)}{1 + G(s)K(s)} N(s).$$

Supondo válidas as hipóteses do Teorema do Valor Final, sua aplicação neste caso leva a

$$c(\infty) = \lim_{s \rightarrow 0} s \frac{G(s)}{1 + G(s)K(s)} N(s) = \lim_{s \rightarrow 0} s \frac{s^{N_K} G'(s)}{s^{N_G} s^{N_K} + G'(s)K'(s)} N(s).$$

- **Perturbação do tipo degrau unitário**

Neste caso,

$$N(s) = \frac{1}{s}$$

e, portanto,

$$c(\infty) = \lim_{s \rightarrow 0} \frac{s^{N_K} G'(s)}{s^{N_G} s^{N_K} + G'(s)K'(s)}.$$

Conforme o valor de  $N_K$ , há duas situações distintas a considerar:

1.  $N_K = 0$

Neste caso, há duas possibilidades quanto ao valor de  $N_G$ , a saber:

- a)  $N_G = 0$

Nestas condições, a expressão anterior fornece:

$$c(\infty) = \frac{K_{0G}}{1 + K_{0G}K_{0K}},$$

a qual mostra que são necessários valores elevados do ganho  $K_{0K}$  do controlador para que o efeito da perturbação em degrau sobre a saída seja pequeno em regime estacionário.

- b)  $N_G \geq 1$

Nestas condições,

$$c(\infty) = \frac{1}{K_{0K}},$$

a qual também mostra que são necessários valores elevados do ganho  $K_{0K}$  do controlador para que o efeito da perturbação em degrau sobre a saída seja pequeno em regime estacionário.

Conclui-se assim que, se o **controlador não tem polo na origem**, é **impossível** fazer com que esse efeito seja **nulo**, independentemente do número de polos da planta na origem.

$$2. N_K \geq 1$$

Neste caso, independentemente do valor de  $N_G \geq 0$ , obtém-se

$$c(\infty) = 0.$$

Conclui-se assim que, se o **controlador tem pelo menos um polo na origem**, o efeito da perturbação em degrau sobre a saída em regime estacionário é **nulo**, independentemente do número de polos da planta na origem.

- **Perturbação do tipo rampa unitária**

Neste caso,

$$N(s) = \frac{1}{s^2}$$

e, portanto,

$$c(\infty) = \lim_{s \rightarrow 0} \frac{s^{N_K} G'(s)}{s^{N_G} s^{N_K} + G'(s) K'(s)}.$$

Conforme o valor de  $N_K$ , há três situações distintas a considerar, independentemente do valor de  $N_G \geq 0$ , a saber:

$$1. N_K = 0$$

Neste caso, a expressão anterior fornece

$$c(\infty) = \infty,$$

o que significa que o efeito da perturbação do tipo rampa sobre a saída é ilimitado (na verdade, o regime estacionário não é atingido).

$$2. N_K = 1$$

Neste caso,

$$c(\infty) = \frac{1}{K_{0K}},$$

o que mostra que o efeito estacionário da perturbação do tipo rampa sobre a saída pode ser reduzido aumentando-se o valor do ganho  $K_{0K}$  do controlador.

$$3. N_K \geq 2$$

Por fim, neste caso,

$$c(\infty) = 0,$$

e, portanto, o efeito da perturbação do tipo rampa sobre a saída é **nulo** em regime estacionário.

**Conclusão**

Para que um sistema de controle sujeito a uma perturbação do tipo **degrau** na entrada da planta a rejeite completamente em regime estacionário é preciso que o controlador tenha **pelo menos um polo na origem**.

Quando se deseja que o sistema de controle rejeite completamente em regime estacionário perturbações do tipo **rampa** é necessário que o compensador tenha **pelo menos dois polos na origem**.

LAC-POLI-USP